

Lista G

Lucas Souza Vieira
PME3380 - Modelagem de Sistemas Dinâmicos
ESCOLA POLITÉCNICA DA UNIVERSIDADE DE SÃO PAULO

Novembro de 2020

1 Obtenção do modelo de 1/2 carro

Primeiramente, utilizam-se as relações cinemáticas de corpo rígido para determinar as velocidades v_A e v_B em função das variáveis do vetor de estados. Isso é feito, ainda na forma vetorial, nas equações (1). Das hipóteses simplificadoras do enunciado, sabe-se que AC e BD permanecem na vertical. Desprezam-se as componentes vetoriais na direção horizontal e escrevem-se as equações cinemáticas de velocidade na direção vertical em formato escalar em (2). As enlongações das molas A e B são escritas em (3).

$$\begin{aligned}\vec{v}_A &= \vec{v}_G + \vec{\omega} \wedge (A - G) \\ \vec{v}_B &= \vec{v}_G + \vec{\omega} \wedge (B - G)\end{aligned}\tag{1}$$

$$\begin{aligned}v_A &= v_G - \omega l_A \cos \theta \\ v_B &= v_G + \omega l_B \cos \theta\end{aligned}\tag{2}$$

$$\begin{aligned}x_A &= x_G - l_A \sin \theta \\ x_B &= x_G + l_B \sin \theta\end{aligned}\tag{3}$$

As equações diferenciais da dinâmica são obtidas pelas equações de Lagrange. Para aplicação destas, definem-se $\dot{x}_G = v_G$ e $\omega = \dot{\theta}$. As equações (4), (5) e (6) representam a energia cinética, a energia potencial e a função de dissipação de Rayleigh do sistema. O Lagrangeano é dado por (7).

$$T = \frac{1}{2}M\dot{x}_G^2 + \frac{1}{2}J\dot{\theta}^2\tag{4}$$

$$V = \frac{1}{2}k_A(x_G - l_A \sin \theta)^2 + \frac{1}{2}k_B(x_G + l_A \sin \theta)^2\tag{5}$$

$$R = \frac{1}{2}b_A(\dot{x}_G - \dot{\theta}l_A \cos \theta - v_C)^2 + \frac{1}{2}b_B(\dot{x}_G + \dot{\theta}l_B \cos \theta - v_D)^2\tag{6}$$

$$L = T - V \quad (7)$$

Primeiramente, aplicando as equações de Lagrange na coordenada generalizada x_G :

$$\begin{aligned} \frac{d}{dt} \left(\frac{\partial L}{\partial \dot{x}_G} \right) &= M\ddot{x}_G \\ \frac{\partial L}{\partial x_G} &= -k_A(x_G - l_A \sin \theta) - k_B(x_G + l_B \sin \theta) \\ \frac{\partial R}{\partial \dot{x}_G} &= b_A(\dot{x}_G - l_A \dot{\theta} \cos \theta - v_C) + b_B(\dot{x}_G + l_B \dot{\theta} \cos \theta - v_D) \\ \frac{d}{dt} \left(\frac{\partial L}{\partial \dot{x}_G} \right) - \frac{\partial L}{\partial x_G} + \frac{\partial R}{\partial \dot{x}_G} &= 0 \end{aligned} \quad (8)$$

Utilizando os termos em derivadas parciais computados, utilizamos (8) para escrever a uma das equações acopladas do sistema. Linearizando, tomando $\omega = \dot{\theta}$ e $v_G = \dot{x}_G$ e lembrando das expressões (3) para as enlongações da mola, chega-se à equação (9).

$$M\dot{v}_G + k_A x_A + k_B x_B + (b_A + b_B)v_G + (b_B l_B - b_A l_A)\omega = b_A v_C + b_B v_D \quad (9)$$

Para a coordenada θ :

$$\begin{aligned} \frac{d}{dt} \left(\frac{\partial L}{\partial \dot{\theta}} \right) &= J\ddot{\theta} \\ \frac{\partial L}{\partial \theta} &= k_A l_A \cos \theta (x_G - l_A \sin \theta) - k_B l_B \cos \theta (x_G + l_B \sin \theta) \\ \frac{\partial R}{\partial \dot{\theta}} &= -b_A l_A \cos \theta (\dot{x}_G - l_A \dot{\theta} \cos \theta - v_C) + b_B l_B \cos \theta (\dot{x}_G + l_B \dot{\theta} \cos \theta - v_D) \\ \frac{d}{dt} \left(\frac{\partial L}{\partial \dot{\theta}} \right) - \frac{\partial L}{\partial \theta} + \frac{\partial R}{\partial \dot{\theta}} &= 0 \end{aligned} \quad (10)$$

Procedendo da mesma maneira que para a coordenada anterior, relacionam-se os termos em derivadas parciais segundo (10). Escrevendo a equação resultante nas variáveis de estado, vem a equação (11).

$$J\dot{\omega} - k_A l_A x_A + k_B l_B x_B + (b_B l_B - b_A l_A)v_G + (b_A l_A^2 + b_B l_B^2)\omega = -b_A l_A v_C + b_B l_B v_D \quad (11)$$

Podemos escrever as equações diferenciais do sistema dinâmico na forma de espaço de estados em sistema linear. Para um vetor de estados $\mathbf{x} = [x_A \ x_B \ v_G \ \omega]^T$ e de entradas $\mathbf{u} = [v_C \ v_D]$, o sistema linear do tipo escrito em (12) decorre se escrevermos as matrizes do sistema linear segundo (13) a (16).

$$\begin{aligned}\dot{\mathbf{x}} &= \mathbf{A}\mathbf{x} + \mathbf{B}\mathbf{u} \\ \mathbf{y} &= \mathbf{C}\mathbf{x} + \mathbf{D}\mathbf{u}\end{aligned}\tag{12}$$

$$\mathbf{A} = \begin{bmatrix} 0 & 0 & 1 & -l_A \\ 0 & 0 & 1 & l_B \\ -k_A/M & -k_B/M & -(b_A + b_B)/M & -(b_B l_B - b_A l_A)/M \\ k_A l_A/J & -k_B l_B/J & -(b_B l_B - b_A l_A)/J & -(b_B l_B^2 + b_A l_A^2)/J \end{bmatrix}\tag{13}$$

$$\mathbf{B} = \begin{bmatrix} 0 & 0 \\ 0 & 0 \\ b_A/M & b_B/M \\ -b_A l_A/J & b_B l_B/J \end{bmatrix}\tag{14}$$

$$\mathbf{C} = \begin{bmatrix} 0 & 0 & 1 & 0 \\ 0 & 0 & 0 & 1 \end{bmatrix}\tag{15}$$

$$\mathbf{D} = \begin{bmatrix} 0 & 0 \\ 0 & 0 \end{bmatrix}\tag{16}$$

Conhecidas as matrizes do sistema linearizado, tem-se o modelo matemático bem definido. Resta apenas simular numericamente e estudar os resultados.

2 Simulação do modelo de 1/2 carro

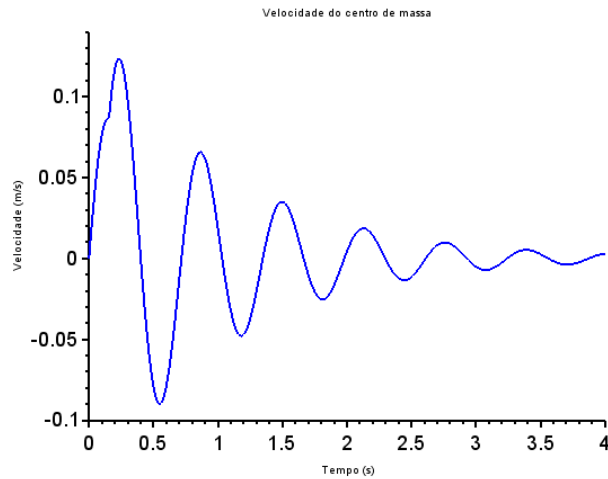
A primeira simulação do sistema é feita para uma entrada degrau. Um obstáculo físico real que poderia ser representado por esse tipo de entrada é uma subida de inclinação constante. Dado o comprimento do chassi, a roda D sofre um atraso em relação à roda C até que atinja a rampa. Por isso, é preciso que D se desloque por um intervalo de tempo t_D até atingir o mesmo ponto na via que C já atingira. Considerando velocidade constante v_H do carro, fica fácil determinar t_D segundo (17). Para os parâmetros escolhidos no enunciado, calcula-se $t_D = 0,16$ s.

$$t_D = \frac{l_A + l_B}{v_H}\tag{17}$$

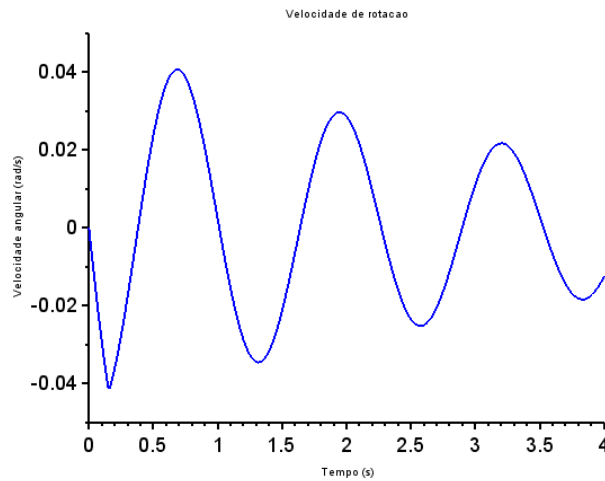
A Figura 1 apresenta os resultados da simulação para entrada degrau. Como se pode verificar o distúrbio da rampa é sentido primeiro pela roda C , de modo que, inicialmente, o

meio carro tenha velocidade angular negativa e o centro de massa se desloque para cima. Em $t = t_D = 0,16 \text{ s}$, há um ponto de "quina" nos gráficos, no qual a derivada fica mal definida. É nesse ponto que a roda traseira atinge o início da rampa e, só então, sofre a entrada do degrau unitário. Em virtude do amortecimento, os movimentos tem suas amplitudes reduzidas com a evolução do tempo.

Figura 1: Saídas simuladas para entrada degrau



(a) Velocidade do centro de massa

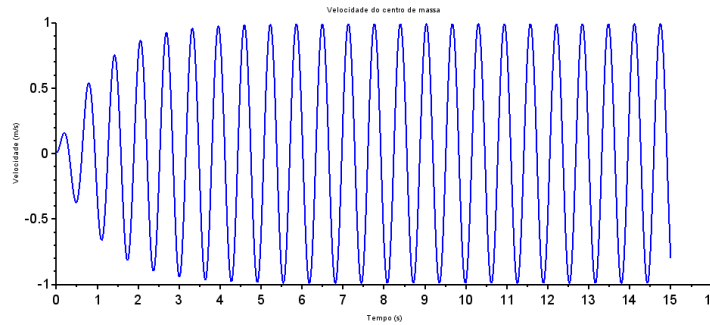


(b) Velocidade angular

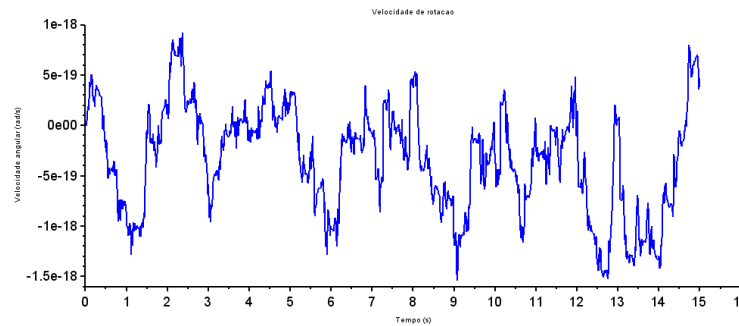
A Figura 2 apresenta os resultados da simulação para $v_C = v_D = \sin(9,8995t)$. As rodas oscilam em fase, inexistindo, portanto, velocidade angular. Assim, apenas a velocidade do centro de massa oscila em torno da posição de equilíbrio ($v_G = 0$), inicialmente com amplitude crescente até que esta se estabilize em valor máximo próximo de um valor unitário. A velocidade angular, apresenta variações da ordem de 10^{-18} rad/s devido à instabilidades

numéricas inerentes ao método de integração. Contudo, interpretando os resultados, ela é nula, como já se esperava.

Figura 2: Saídas simuladas para entrada senoidal de frequência 9,8995 rad/s



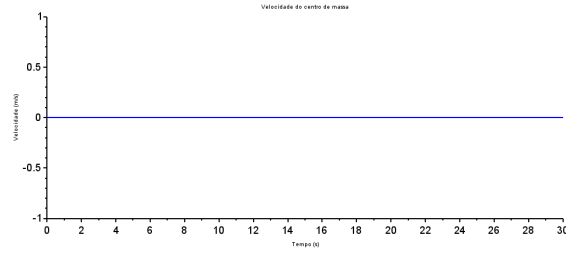
(a) Velocidade do centro de massa



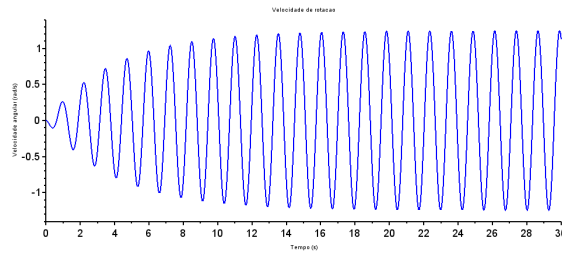
(b) Velocidade angular

A Figura 3 apresenta o resultado da simulação para $v_C = -v_D = \sin(4,9875t)$. Nesse exemplo, as rodas estão oscilando em oposição de fase, de tal sorte que o centro de massa do meio carro não se movimenta com relação ao referencial inercial. Desta vez, a velocidade v_G permanece nula em toda a simulação, enquanto ω oscila em torno de sua posição de equilíbrio ($\omega = 0$) com amplitude crescente até esta se estabilize próxima da unidade. Nota-se também que o número de oscilações por unidade de tempo da variável de estado oscilatória deste exemplo é menor que o anterior. Isso é facilmente constatável devido à frequência de entrada menor para este caso.

Figura 3: Saídas simuladas para entrada senoidal de frequência 4,9875 rad/s



(a) Velocidade do centro de massa



(b) Velocidade angular

Como pede o enunciado, são calculados as frequências naturais não-amortecidas e amortecidas do sistema, bem como seus fatores de amortecimento. Isso é facilmente calculado tomando os polos do sistema. Sendo este um sistema de quarta ordem, temos dois pares de polos complexos conjugados (s_1, \bar{s}_1) e (s_2, \bar{s}_2) . As equações que permitem efetuar esses cálculos são apresentadas de (18) a (20). A Tabela 1 resume os resultados para as constantes pedidas.

Tabela 1: Polos e constantes do sistema

Polo	$\text{Re}(s_i)$	$\text{Im}(s_i)$	ω_n	ζ	ω_d
s_1	-1	9,94988	10	-0,1	9,94988
\bar{s}_1	-1	-9,94988			
s_2	-0,25	4,99375	5	-0,05	4,99375
\bar{s}_2	-0,25	-4,99375			

$$\omega_n = \sqrt{s \cdot \bar{s}} = |s| \quad (18)$$

$$\zeta = \frac{\text{Re}(s)}{\omega_n} \quad (19)$$

$$\omega_d = \omega_n \sqrt{1 - \zeta^2} \quad (20)$$

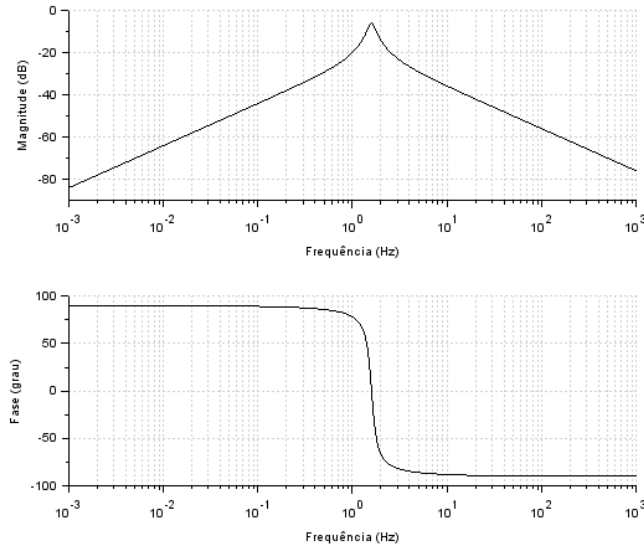
3 Análise de resposta em frequência

As funções de transferência, determinadas numericamente, são apresentadas na equação (21). Como se pode perceber, os polos (s_1, \bar{s}_1) são as raízes do polinômio no denominador das funções da primeira linha da matriz $G(s)$. Os outros polos se verificam na segunda linha.

$$G(s) = \begin{bmatrix} \frac{s}{s^2 + 2s + 100} & \frac{s}{s^2 + 2s + 100} \\ \frac{-0,3125s}{s^2 + 0,5s + 25} & \frac{0,3125s}{s^2 + 0,5s + 25} \end{bmatrix} \quad (21)$$

Todos os zeros da função de transferência estão posicionados na origem do plano-s. Somando isso aos polos apresentados na Tabela 1, percebe-se que o sistema apresenta fase mínima. Os diagramas de Bode para as funções de transferência da primeira linha são iguais. O mesmo quase vale, entre si, para as funções da segunda linha a menos de um sinal. Assim, os diagramas de Bode para a velocidade do centro de massa são os mesmos para entrada v_C ou entrada v_D . Para a velocidade angular, os diagramas de Bode para uma ou outra entrada diferirão apenas quanto à fase (180°) devido à diferença de sinal. As análises contudo se mantêm as mesmas, então é apresentado apenas um dos diagramas para ω .

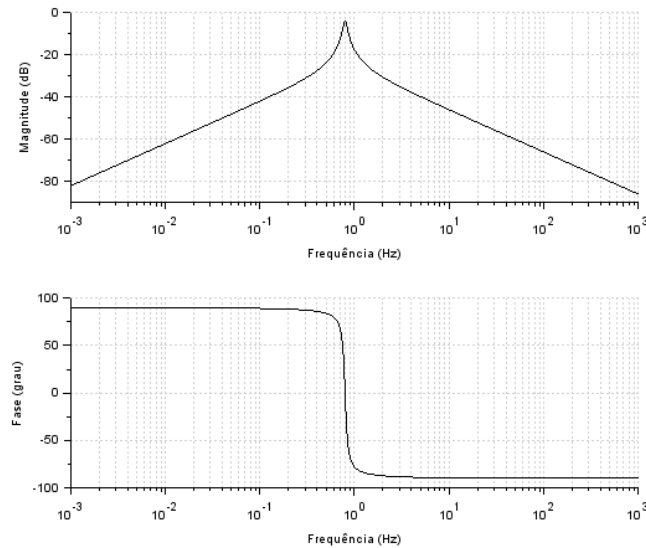
Figura 4: Diagrama de Bode da velocidade do centro de massa v_G



A Figura 4 apresenta o diagrama de Bode para a saída v_G . Em baixas frequências, a amplitude aumenta cerca de 20 dB por década devido ao fator derivativo à primeira potência no numerador das funções de transferência na primeira linha de $G(s)$. Esse fator também justifica a fase de 90° em baixas frequências. Há ressonância devido ao termo de segunda ordem no denominador. Calculando a frequência de ressonância em Hertz ($f_1 = \omega_{d,1}/(2\pi)$), obtém-se $f_1 \approx 1,584 \text{ Hz}$. Esse valor é coerente com o máximo verificado no diagrama de

amplitude e coincide com a mudança de fase de 180° para a mesma frequência de ressonância. Para altas frequências, a amplitude cai 20 dB por década, com fase -90° .

Figura 5: Diagrama de Bode da velocidade angular ω



A Figura 5 apresenta o diagrama de Bode para a saída ω . O comportamento das curvas do diagrama é o mesmo verificado no anterior. O termo derivativo no numerador das funções da segunda linha de $G(s)$ faz com que a fase seja de 90° . O termo de segunda ordem no denominador faz com que haja ressonância ($f_2 = \omega_{d,2}/(2\pi)$) para $f_2 \approx 0,795 \text{ Hz}$ e, conseqüentemente, uma mudança de fase de 180° . Para baixas frequências, ocorre comportamento assintótico de aumento de 20 dB por década para a amplitude. Para altas, vale o análogo de decaimento de 20 dB por década.

Apêndice

Código utilizado para simulação numérica do modelo de meio carro:

```

1 clear;
2
3 M = 200; // kg
4 J = 512; // kgm2
5 lA = 0.8; // m
6 lB = 0.8; // m
7 kA = 10000; // N/m
8 kB = 10000; // N/m
9 bA = 200; // Ns/m
10 bB = 200; // Ns/m
11 vH = 10; // m/s
12 td = (lA + lB)/vH; // Tempo de resposta entre rodas
13 caso = 3; // Escolha de qual o caso simulado

```



```

14
15 // Instante final de simulacao para cada caso
16 if caso == 1 then
17     tf = 4.;
18 elseif caso == 2 then
19     tf = 15.;
20 else
21     tf = 30.;
22 end
23
24 step = 0.01; // Passo de simulacao
25 t = 0.:step:tf; // Vetor de instantes discretos de tempo
26
27 // Inicializacao dos vetores de entrada
28 vC = zeros(1,length(t));
29 vD = zeros(1,length(t));
30 // Funcoes para a entrada dependendo do caso escolhido
31 if caso == 1 then // Degrau
32     for i=1:length(t)
33         vC(i) = 1.;
34         if t(i)<td then
35             vD(i) = 0.;
36         else
37             vD(i) = 1.;
38         end
39     end
40 elseif caso == 2 then // Senoidal de freq angular 9.8995 rad/s
41     vC = sin(9.8995*t);
42     vD = vC;
43     u(1,:) = vC;
44     u(2,:) = vD;
45 else // Senoidal de freq angular 4.987 rad/s
46     vC = sin(4.987*t);
47     vD = -vC;
48     u(1,:) = vC;
49     u(2,:) = vD;
50 end
51
52 u = [vC;vD]; // Matriz com a evolucao temporal das entradas
53
54 // Integrador para sistema linear usando Runge-Kutta de 4a ordem
55 function [y,x]=integrador(A,B,C,D,u,t,x0)
56     // Seguindo a notacao usada no enunciado da lista F:
57     //t: vetor de instantes de tempo (tamanho 1 N)      fornecido pelo
usu rio da fun  o .
58     //x: matriz com as solu  es das equa  es diferenciais (tamanho
n N)      sa da da fun  o .
59     //u: matriz com o vetor de entradas em cada instante (tamanho m N)
fornecida pelo usu rio da fun  o .
60     //y: matriz com o vetor de sa das em cada instante (tamanho p N)
sa da da fun  o .
61     //x0: vetor com os estados no instante inicial (tamanho n 1)
fornecido pelo usu rio da fun  o .
62     //A: matriz n n      fornecida pelo usu rio da fun  o .

```

```

63 //B: matriz n m      fornecida pelo usu rio da fun o .
64 //C: matriz p n      fornecida pelo usu rio da fun o .
65 //D: matriz: p m      fornecida pelo usu rio da fun o
66
67 // Parametros de dimensao das matrizes do sistema
68 N = length(t); // Numero de iteracoes temporais
69 n = length(x0); // Numero de variaveis do vetor de estados
70 m = length(u(:,1)); // Numero de entradas do sistema
71
72 // Escrita das equacoes diferenciais dx_{i}/dt = f_{i}(t,x,u) na forma
matricial
73 // A cada instante discreto t_{j}, os fatores k s o avaliados com
base na funcao f
74 function [xp]=f(tj,xj,uj)
75     xp = A*xj+B*uj;
76 endfunction
77
78 x(:,1) = x0; // Aplicacao das condicoes iniciais do problema
79 for j=2:N;
80     h = t(j)-t(j-1); // Passo temporal de integracao (pode nao ser
constante)
81     // Avaliacao dos fatores k em t_{j-1}
82     k1 = h*f(t(j-1),x(:,j-1),u(:,j-1));
83     k2 = h*f(t(j-1)+h/2, x(:,j-1) + k1/2, 0.5*(u(:,j-1)+u(:,j)));
84     k3 = h*f(t(j-1)+h/2, x(:,j-1) + k2/2, 0.5*(u(:,j-1)+u(:,j)));
85     k4 = h*f(t(j-1)+h, x(:,j-1) + k3, u(:,j));
86     // Atualizacao do vetor x no instante t_{j}
87     x(:,j) = x(:,j-1) + (k1+2*k2+2*k3+k4)/6;
88     // Calculo da saide em t_{j} a partir de x agora conhecido em t_{j}
}
89     y(:,j) = C*x(:,j)+D*u(:,j);
90 end
91 endfunction
92
93 // Matrizes do sistema linear
94 A = [0 0 1 -lA; 0 0 1 lB; -kA/M -kB/M -(bA+bB)/M -(bB*lB-bA*lA)/M ; kA*lA/
J -kB*lB/J -(bB*lB-bA*lA)/J -(bB*lB^2 + bA*lA^2)/J];
95 B = [ 0 0;0 0;bA/M bB/M;-bA*lA/J bB*lB/J];
96 C = [0 0 1 0; 0 0 0 1];
97 D = [0 0; 0 0];
98
99 x0 = [0;0;0;0]; // Condicoes iniciais nulas
100
101 meiocarro = syslin('c',A,B,C,D); // Sistema linear
102 G = ss2tf(meioscarro); // Matriz de funcoes de transferencia
103 [y,x] = integrador(A,B,C,D,u,t,x0); // Integracao numerica das equacoes
104
105 s = spec(A);
106 wn1 = abs(s(1));
107 zeta1 = real(s(1))/wn1;
108 wd1 = wn1*sqrt(1-zeta1^2);
109 wn2 = abs(s(3));
110 zeta2 = real(s(3))/wn2;
111 wd2 = wn2*sqrt(1-zeta2^2);

```

```
112
113 // Plot dos resultados
114 //scf(0);
115 //xset('thickness',2)
116 //xset('font size',4)
117 //plot2d(t,y(1,:),2)
118 //xtitle('Velocidade do centro de massa','Tempo (s)','Velocidade (m/s)')
119 //
120 //scf(1);
121 //xset('thickness',2)
122 //xset('font size',4)
123 //plot2d(t,y(2,:),2)
124 //xtitle('Velocidade de rotacao','Tempo (s)','Velocidade angular (rad/s)')
125
126 scf(2);
127 bode(G(1,1));
128
129 scf(3);
130 bode(G(1,2));
131
132 scf(4);
133 bode(G(2,1));
134
135 scf(5);
136 bode(G(2,2));
```